

(64)

溶滓-溶鉄間の Si の移行について

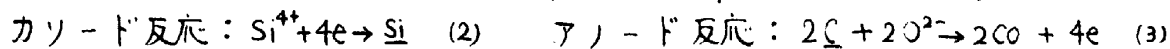
東北大学送鉱製錬研究所

○芦塚正博 德田昌則 大谷正康

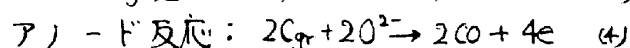
スラグの SiO_2 の炭素(溶解炭素, 固体炭素)による還元反応は、統括的に次式で表わされる。



この反応は以下のようないくつかの電気化学的反応により構成されていくと考えられる。



さらに黒鉛ルツボが電子伝導体であることを考慮すると、アノード反応として、次のような反応も起り得る。



(4)式の反応が起るなら、スラグ-グラファイト界面積を変化させることにより、(2)式のスラグ-メタル界面における SiO_2 還元速度に影響を及ぼすはずである。

(1) 実験方法： 反応容器は予めスラグのみを入れた上部ルツボと、炭素飽和溶鉄を入れた内径40mm中の下部ルツボから成り立っており、それを400kc 高周波炉所定の温度まで上昇させ、それを水別々に溶解した後、スラグを下部ルツボに落して反応を開始させる。反応部分の温度分布は10°C以内におさえた。一定時間ごとに石英管を用ひメタルを吸引採取し、Si分析に供した。

(2) 実験結果および考察

炭素飽和鉄100gr に $\text{CaO}/\text{SiO}_2 = 54/46$ の組成のスラグ 50, 100, 150gr を添加した場合 SiO_2 の還元速度はスラグの量が増加するに従って大きくなる。これはスラグの増加により、スラグ-グラファイト界面 [$S_{\text{S-G}}$] が増大し、(4)式の反応が進行して、スラグ-メタル界面 [$S_{\text{S-M}}$] における反応が促進されたためと考えられる。スラグ-ルツボ界面積が変化した場合でもルツボ壁の面積の効果は一樣であるとするとき、統括的移行速度 \dot{N}_T は次のようになる。

$$\dot{N}_T = \dot{n}_{S-G} S_{\text{S-G}} + \dot{n}_{S-M} S_{\text{S-M}} \quad (5)$$

$$\dot{n}_T = \frac{\dot{N}_T}{S_{\text{S-M}}} = \dot{n}_{S-M} + \dot{n}_{S-G} \frac{S_{\text{S-G}}}{S_{\text{S-M}}} \quad (6)$$

\dot{n}_T : 単位スラグ-溶鉄界面積当りのスラグから溶鉄へのSiの移行速度、(5)式に対応
 \dot{n}_{S-G} : スラグ-ルツボ界面積の寄与によるSiの移行速度、(4)式に対応
 \dot{n}_{S-M} : スラグ-溶鉄界面積の寄与によるSiの移行速度、(3)式に対応

(6)式を用ひて実験結果を整理したものが図中、曲線Aである。曲線Bは同様の実験を $\text{CaO}-\text{SiO}_2-\text{Al}_2\text{O}_3(40-40-20)$ 三元スラグ、1600°Cで行った場合の結果であり、二元系に比し SiO_2 の還元に対するスラグ-グラファイト界面の寄与が小さい。これらの相違点につき拡散および反応律速の両面から考察した。

